

# Имитационное моделирование течения разреженного газа в канале

Бережная Мария Владимировна, гр. 522

Санкт-Петербургский государственный университет  
Математико-механический факультет  
Кафедра статистического моделирования

Научный руководитель: к.ф.-м.н., д. Христинич В.Б.  
Рецензент: к.ф.-м.н., д. Кривулин Н.К.



Санкт-Петербург  
2010г.

- Исследование свободномолекулярного течения разреженного газа в цилиндрическом канале методом имитационного статистического моделирования с помощью имеющихся теоретических результатов.
- Построение эмпирических плотностей скоростей частиц в заданных контрольных областях канала.
- Получение оценок характеристик газового потока в заданных контрольных областях канала.

# Теоретическая постановка задачи течения газа в цилиндрическом канале

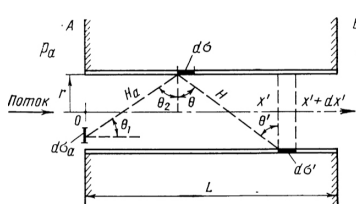


Рис. 1

$d\sigma$ ,  $d\sigma_\alpha$ ,  $d\sigma'$  – рассматриваемые контрольные участки поверхности канала.

$\theta$ ,  $\theta_1$ ,  $\theta_2$ ,  $\theta'$  – углы, определяющие траектории движения молекул.

$H$ ,  $H_\alpha$  – расстояния между участками поверхности.

$x'$ ,  $x' + dx'$  – координаты участка поверхности  $d\sigma'$ .

- Рассматривается свободномолекулярное течение разреженного газа из камеры  $A$  в камеру  $B$  по цилиндрическому каналу.
- Характеристики канала: радиус канала  $r$ , длина канала  $L$ , задаваемые в единицах радиуса. Размеры канала много меньше размеров камер и средних длин свободных пробегов молекул в обеих камерах.
- Характеристики газа: вдали от входного и выходного сечений канала газ находится в равновесных состояниях соответственно при давлениях  $p_a$  и  $p_b$ , плотностях  $\rho_a$  и  $\rho_b$ , температуре  $T_a = T_b = T$ .
- Температура стенок канала отличается от температуры газа в камерах.

Максвелловская плотность распределения скоростей отражённых молекул:

$$f_r(\bar{r}_\omega, \bar{\xi}_r, t) = \beta_t f_i(\bar{r}_\omega, \bar{\xi}_i, t) + \alpha_t \frac{n_r}{(2\pi RT_r)^{3/2}} \exp\left(-\frac{\xi_{rx}^2 + \xi_{ry}^2 + \xi_{rz}^2}{2RT_r}\right), \quad (1)$$

- $f_r$  – плотность отраженных молекул,  $f_i$  – плотность падающих молекул,
- $\bar{r}_\omega$  – радиус-вектор точки поверхности тела,
- $\bar{\xi}_r = (\xi_{rx}, \xi_{ry}, \xi_{rz})$  – вектор скоростей отражённых молекул,
- $\beta_t = (1 - \alpha_t)$ ,  $\alpha_t$  – коэффициент диффузного отражения,  $t$  – время,
- $\bar{\xi}_i = \bar{\xi}_r - 2\xi_{rn}\bar{n}$  – скорость молекулы до столкновения с поверхностью,
- $n_r = N_i \sqrt{\frac{2\pi}{RT_r}}$ ,  $N_i$  – число отражённых от стенок канала молекул,
- $R$  – удельная газовая постоянная,  $T_r$  – подбираемая константа.

Уравнение баланса частиц для элемента поверхности канала  $d\sigma$ :

$$dN_{\sigma r} = dN_{\alpha\sigma} + dN_{\sigma\sigma}, \quad (2)$$

- $dN_{\sigma r}$  – число молекул, отражённых в единицу времени от  $d\sigma$ ,
- $dN_{\alpha\sigma}$  – число падающих молекул в единицу времени на элемент  $d\sigma$ , прилетающих непосредственно из камеры  $A$ ,
- $dN_{\sigma\sigma}$  – число падающих на элемент  $d\sigma$  молекул, испытавших столкновение со стенкой канала.

- Поток частиц, отражённых от элемента поверхности  $d\sigma$  за единицу времени:

$$dN_{\sigma r} = d\sigma n_r(x) \sqrt{\frac{RT}{2\pi}}, \quad (3)$$

- $n_r(x)$  – числовая плотность для отражённых молекул от элемента  $d\sigma$ ,
  - $R$  – удельная газовая постоянная,
  - $T$  – температура.
- Поток частиц к элементу  $d\sigma$  отражённых от стенок канала:

$$dN_{\sigma\sigma} = \sqrt{\frac{RT}{2\pi}} d\sigma \int_0^L \left( 1 - |\bar{x} - \bar{x}'| \frac{2(\bar{x} - \bar{x}')^2 + 3}{2((\bar{x} - \bar{x}')^2 + 1)^{3/2}} \right) n_r(\bar{x}') dx', \quad (4)$$

- $\bar{x} = x/2r$ ,
  - $\bar{x}' = x'/2r$ .
- Поток частиц к элементу поверхности  $d\sigma$  от входного сечения:

$$dN_{\alpha\sigma} = \frac{1}{2} n_\alpha \sqrt{\frac{RT}{2\pi}} \left[ \frac{1 + 2\bar{x}^2}{\sqrt{1 + \bar{x}^2}} - 2\bar{x} \right] d\sigma, \quad (5)$$

- $n_\alpha$  – концентрация газа на входном сечении.

Уравнение Клаузинга, описывающее значение концентрации частиц  $\omega(\bar{x})$  в различных точках канала:

$$\omega(\bar{x}) = f(\bar{x}) + \int_0^{\bar{L}} K(\bar{x}, \bar{x}') \omega(\bar{x}') d\bar{x}'; \quad (6)$$

$$f(\bar{x}) = \frac{1}{2} \left[ \frac{1 + 2\bar{x}^2}{\sqrt{1 + \bar{x}^2}} - 2\bar{x} \right], \quad K(\bar{x}, \bar{x}') = 1 - |\bar{x} - \bar{x}'| \frac{2(\bar{x} - \bar{x}')^2 + 3}{2((\bar{x} - \bar{x}')^2 + 1)^{3/2}},$$

$$\omega(\bar{x}) = \frac{n_r(\bar{x})}{n_\alpha}.$$

Приближённое решение уравнения Клаузинга  $\omega = 1 - \frac{1}{2(1+L)} - \frac{\bar{x}}{1+L}$ .

Функционал от решения уравнения (6):

$$\text{Коэффициент Клаузинга } W = 1 - 2 \int_0^{\bar{L}} \omega(\bar{x}) \left[ \frac{1 + 2\bar{x}^2}{\sqrt{1 + \bar{x}^2}} - 2\bar{x} \right] d\bar{x}.$$

Характеристики газового потока, получаемые с помощью коэффициента Клаузинга:

$$\text{Молекулярный расход газа } N = W \cdot \pi r^2 \sqrt{\frac{RT}{2\pi}} (n_\alpha - n_b),$$

$$\text{Массовый расход газа } G = W \cdot \pi r^2 \frac{p_\alpha - p_\beta}{\sqrt{2\pi RT}}.$$

Уравнение Клаузинга является интегральным уравнением Фредгольма 2го рода, в следствии чего рассматривается решение интегрального уравнения (7)

$$z(P) = \int_G K(P, P')z(P')dP' + f(P) \Leftrightarrow z = Kz + f. \quad (7)$$

Решение представимо в виде ряда Неймана  $z = \sum_{i=0}^{\infty} K^i f$ .

Оценка функционала от решения:  $(\psi, z^{(i)}) \approx \frac{1}{N} \sum_{s=1}^N \xi_i[\psi]_s$ ,

- $\psi(P) \in L_2(G)$ ,
- $z^{(i)} = Kz^{(i-1)} + f$ , – последовательные приближения решения уравнения,
- $\xi_i[\psi]_s = \frac{\psi(Q_0)}{p(Q_0)} \left[ \sum_{j=0}^{i-1} W_j f(Q_j) + W_i \varphi(Q_i) \right]$  – случайная величина, вычисленная на  $s$ -й случайной траектории  $T_i$ ,
- $T_i = (Q_0 \rightarrow Q_1 \rightarrow \dots \rightarrow Q_i)$  – случайная траектория, состоящая из точек  $Q_0, Q_1, \dots, Q_i$ , где  $p(P)$  – плотность  $Q_0$ ,  $p(Q_{j-1}, P)$  – плотность  $Q_j$  при известной  $Q_{j-1}$ ,
- $W_j = \frac{K(Q_0, Q_1)K(Q_1, Q_2)\dots K(Q_{j-1}, Q_j)}{p(Q_0, Q_1)p(Q_1, Q_2)\dots p(Q_{j-1}, Q_j)}$ ,  $W_0 = 1$   $j = 1, 2, \dots, i$ .

Оценка функционала от решения уравнения с использованием траекторий

с поглощением:  $(\psi, z) \approx \frac{1}{N} \sum_{s=1}^N \tilde{\xi}_\nu[\psi]_s$ .

- $\psi(P) \in L_2(G)$ ,
- $z$  – оценка решение уравнения (7),
- $\tilde{\xi}_\nu[\psi]_s = \frac{\psi(Q_0)}{p(Q_0)} \tilde{W}_\nu \frac{f(Q_\nu)}{\alpha(Q_\nu)}$  – случайная величина, вычисленная на  $s$ -й случайной траектории  $\tilde{T}_\nu$ ,
- $\tilde{T}_\nu = (Q_0 \rightarrow Q_1 \rightarrow \dots \rightarrow Q_\nu)$  – случайная траектория случайной длины  $\nu$ , состоящая из точек  $Q_0, Q_1, \dots, Q_\nu$ , где  $p(P)$  – плотность  $Q_0$ ,  $0 < \alpha(P) < 1$  вероятность обрыва траектории в точке  $P$ ,  $p(Q_{j-1}, P)$  – плотность  $Q_j$  при известной  $Q_{j-1}$ ,
- $\tilde{W}_\nu = \frac{K(Q_0, Q_1) K(Q_1, Q_2) \dots K(Q_{\nu-1}, Q_\nu)}{s(Q_0) s(Q_1) \dots s(Q_{\nu-1}) p(Q_0, Q_1) p(Q_1, Q_2) \dots p(Q_{\nu-1}, Q_\nu)}$ ,  $\tilde{W}_0 = 1$   
 $j=1, 2, \dots, \nu$ ,
- $s(P) = 1 - \alpha(P)$  – вероятность рассеяния точки  $P$ .

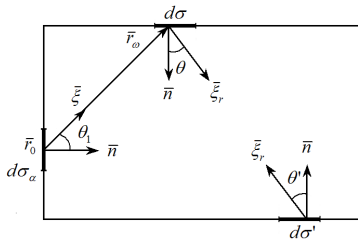


# Постановка задачи прямого статистического имитационного моделирования

- Моделирование процесса течения газа в канале в плоском случае на основе теоретических данных.
- Получение эмпирических плотностей скоростей молекул на контрольных участках канала.
- Получение оценок характеристик газа на контрольных участках канала:
  - вычисление математического ожидания скоростей молекул для оценки скорости газового потока,
  - вычисление дисперсий скоростей молекул для оценки температуры газа,
  - вычисление коэффициента асимметрии и эксцесса скоростей молекул для оценки теплопроводности и вязкости газа.

# Постановка задачи прямого имитационного моделирования

Схема задачи прямого статистического моделирования:



- $\bar{r}_0 = (r_{0x}, r_{0y})$  – точка старта молекулы,  $r_{0y}$  – равномерно распределённая случайная величина на  $[0, 2r]$ ,
- $\bar{\xi} = (\xi_x, \xi_y)$  – вектор скоростей молекул с распределёнными по нормальному закону компонентами,
- $(\sin\theta_1, \cos\theta_1)$  – единичный вектор направления движения молекулы,
- $\bar{r}_\omega$  – радиус-вектор точки столкновения молекулы с поверхностью,
- $\bar{\xi}_r = (\xi_{rx}, \xi_{ry})$  – вектор скоростей молекул, отразившихся от стенки канала в точке  $\bar{r}_\omega$ ,
- $d\sigma, d\sigma', d\sigma_\alpha$  – контрольные участки поверхности канала.

Контрольная гистограмма скоростей частиц, вылетевших со входного сечения.

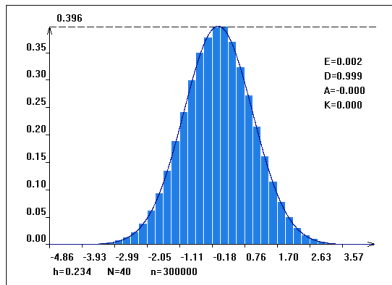


Рис.1. Гистограмма скоростей  $\xi_y$  частиц, вылетевших со входного сечения канала.

Вычисленные параметры:

- $E\xi_y = 0.002$
- $D\xi_y = 0.999$
- $A\xi_y = 0.000$
- $K\xi_y = 0.000$

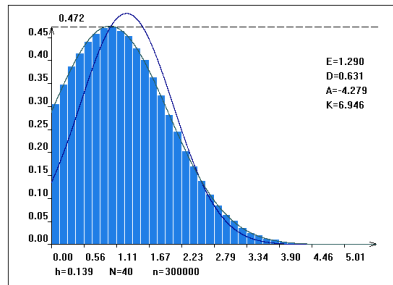


Рис.2. Гистограмма скоростей  $\xi_x$  частиц, вылетевших со входного сечения канала.

Вычисленные параметры:

- $E\xi_x = 1.290$
- $D\xi_x = 0.631$
- $A\xi_x = -4.279$
- $K\xi_x = 6.946$

# Результаты задачи имитационного моделирования

Гистограммы скоростей частиц, попавших в заданный наверху участок поверхности канала и отразившихся от заданного участка поверхности канала.

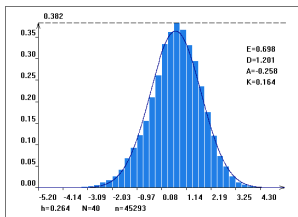


Рис.3. Гистограмма скоростей  $\xi_x$  частиц, попавших в отрезок  $d\sigma$ .

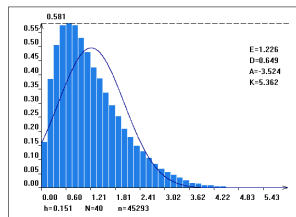


Рис.4. Гистограмма скоростей  $\xi_y$  частиц, попавших в отрезок  $d\sigma$ .

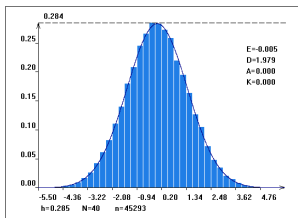


Рис.5. Гистограмма скоростей  $\xi_x$  частиц, отразившихся от отрезка  $d\sigma$ .

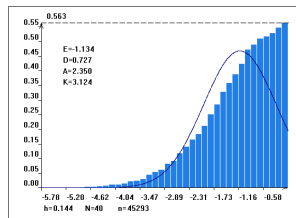


Рис.6. Гистограмма скоростей  $\xi_y$  частиц, отразившихся от отрезка  $d\sigma$ .

Гистограммы скоростей частиц, вышедших из участка входного сечения канала  $d\sigma_\alpha$  или отразившихся от заданного внизу участка поверхности канала  $d\sigma'$  и попавших в заданный наверху участок поверхности канала  $d\sigma$ .

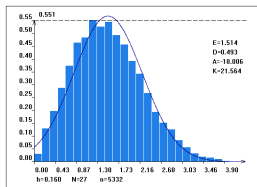


Рис.7. Гистограмма скоростей  $\xi_x$  частиц, вылетевших из отрезка  $d\sigma_\alpha$  и попавших в  $d\sigma$ .

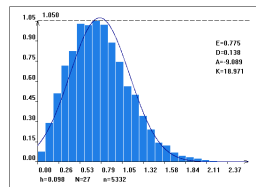


Рис.8. Гистограмма скоростей  $\xi_y$  частиц, вылетевших из отрезка  $d\sigma_\alpha$  и попавших в  $d\sigma$ .

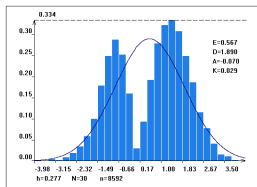


Рис.9. Гистограмма скоростей  $\xi_x$  частиц, вылетевших из отрезка  $d\sigma_\alpha$  или отразившихся от отрезка  $d\sigma'$ , попавших в отрезок  $d\sigma$ .

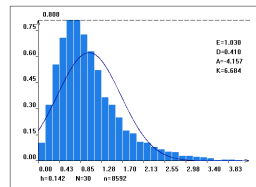


Рис.10. Гистограмма скоростей  $\xi_y$  частиц, вылетевших из отрезка  $d\sigma_\alpha$  или отразившихся от отрезка  $d\sigma'$ , попавших в отрезок  $d\sigma$ .

Гистограммы скоростей частиц, покинувших канал через выходное сечение.

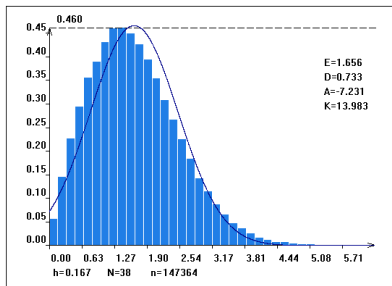


Рис.11. Гистограмма скоростей  $\xi_x$  частиц, вылетевших через выходное сечение.

Вычисленные параметры:

- $E\xi_x = 1.656$
- $D\xi_x = 0.733$
- $A\xi_x = -7.231$
- $K\xi_x = 13.983$

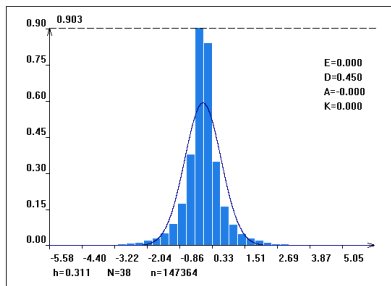


Рис.12. Гистограмма скоростей  $\xi_y$  частиц, вылетевших через выходное сечение.

Вычисленные параметры:

- $E\xi_y = 0.000$
- $D\xi_y = 0.450$
- $A\xi_y = 0.000$
- $K\xi_y = 0.000$

Гистограммы скоростей частиц, попавших в заданную область прямоугольной формы внутри канала.

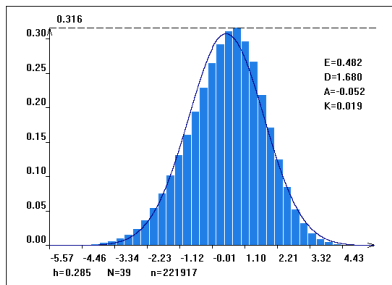


Рис.13. Гистограмма скоростей  $\xi_x$  частиц, попавших в заданную прямоугольную область канала.

Вычисленные параметры:

- $E\xi_x = 0.482$
- $D\xi_x = 1.680$
- $A\xi_x = -0.052$
- $K\xi_x = 0.019$

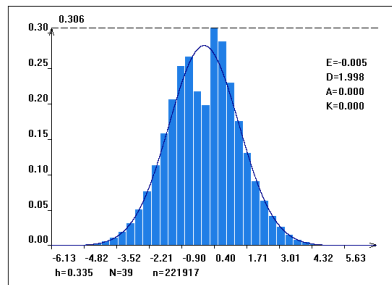


Рис.14. Гистограмма скоростей  $\xi_y$  частиц, попавших в заданную прямоугольную область канала.

Вычисленные параметры:

- $E\xi_y = -0.005$
- $D\xi_y = 1.998$
- $A\xi_y = 0.000$
- $K\xi_y = 0.000$

- Рассмотрена теоретическая задача течения разреженного газа в канале, вывод уравнения Клаузинга, являющегося интегральным уравнением Фредгольма второго рода и рассмотрено решение интегрального уравнения методом Монте-Карло.
- Методом статистического имитационного моделирования построены эмпирические плотности скоростей молекул, попавших в заданные контрольные области канала.
- Получены оценки характеристик распределений скоростей молекул, позволяющие оценить скорость потока, температуру, вязкость газа и теплопроводность в заданных областях канала.